

## بهینه‌سازی سنتز سبز و مشخصه‌یابی نانوذره‌های مس اکسید با عصاره آبی (*Hibiscus sabdariffa* L.)

سحر صادق نیا<sup>۱</sup>، ابراهیم ملاشahi<sup>۲\*</sup>، علیرضا عینعلی<sup>۳</sup> و امید عزیزان شرمه<sup>۴</sup>

۱. دانشجوی کارشناسی ارشد گروه شیمی، دانشکده علوم پایه، دانشگاه سیستان و بلوچستان، زاهدان، ایران
۲. استادیار گروه شیمی، دانشکده علوم پایه، دانشگاه سیستان و بلوچستان، زاهدان، ایران
۳. دانشیار گروه زیست‌شناسی، دانشکده علوم پایه، دانشگاه سیستان و بلوچستان، زاهدان، ایران
۴. دانشجوی دکترا گروه شیمی، دانشکده علوم پایه، دانشگاه سیستان و بلوچستان، زاهدان، ایران

دریافت: مرداد ۹۹ بازنگری: بهمن ۹۹ پذیرش: اسفند ۹۹

### چکیده

پژوهش حاضر نخستین گزارش از سنتز سبز نانوذره‌های مس اکسید با به کارگیری عصاره آبی برگ گیاه چای ترش (*Hibiscus sabdariffa* L.) و مس کلرید ( $CuCl_2 \cdot 2H_2O$ ) است. بهمنظور بدست آوردن نانوذره‌ها با شکل و اندازه یکنواخت، عامل‌های مؤثر بر سنتز مانند pH واکنش، حجم و غلظت عصاره، غلظت نمک مس (II) و زمان واکنش بررسی و همه آن‌ها با روش طیف‌نورسنجی فرابنفش-مرئی (UV-Vis) بهینه شدند. میکروسکوپ الکترونی عبوری (TEM) و طیف‌سنجی فروسرخ تبدیل فوریه (FTIR) به ترتیب برای بررسی شکل و اندازه نانوذره‌ها و تشخیص گروه‌های عاملی درگیر در تهیه و تثبیت نانوذره‌های مس اکسید به کارگرفته شدند. نتیجه‌ها نشان داد که عصاره می‌تواند یون‌های مس (II) را به اتم‌های مس با اندازه نانومتری کاهش و رنگ محلول را به سبز تغییر دهد. نانوذره‌های بدست آمده همگی کروی بودند و میانگین اندازه آن‌ها ۱۰ تا ۲۰ نانومتر بود. همچنین، بهترین شرایط برای تهیه نانوذره‌های مس در pH برابر با ۹/۸ میلی‌لیتر از عصاره با غلظت ۵٪ و نمک مس با غلظت ۱۰ میلی‌مolar بود. این نانوذره‌ها در ۶ روز پس از تهیه بسیار پایدار بودند.

### واژه‌های کلیدی:

بهینه‌سازی، سنتز سبز، گل چای ترش، نانوذره‌های مس اکسید

### مقدمه

پیش از میلاد مسیح، نخستین کسی بود که واژه اتم را که به معنی تقسیم‌شدنی در زبان یونانی است برای توصیف ذره‌های سازنده مواد به کار برد [۱]. در سال ۱۹۵۹ ریچارد فاینمن مقاله‌ای را درباره قابلیت‌های فناوری نانو در آینده منتشر ساخت [۲ و ۳]. پس از او پژوهشگران نشان دادند در از زمان یونان باستان، مردم و بهویژه پژوهشگران بر این باور بودند که مواد را می‌توان به اجزاء کوچک تقسیم کرد تا به ذراتی خرد ناشدنی رسید که بنیان مواد را تشکیل می‌دهند. دموکریتوس فیلسوف یونانی در حدود ۴۰۰ سال

به تهییه نانوذره‌های مس اکسید با گیاهان، تولید این نانوذره‌ها از عصاره برگ گردو [۱۷]، عصاره آلوئه ورا [۱۸] و حنا [۱۹] گزارش شده است. گیاه دارویی چای ترش با نام علمی *Hibiscus sabdariffa* L. گیاهی یک ساله و متعلق به خانواده Malvaceae است. این گیاه بومی مناطق گرمسیر و نیم‌گرمسیر است. چای ترش بومی ایران نیست و کشت این گیاه در ایران تنها در استان سیستان و بلوچستان گزارش شده است. گیاه چای ترش حاوی فلافونوئید، آنتوسیانین و مقدار بالایی اسید مانند اگزالیک اسید، سوکسینیک اسید و اسیدهای آلی است [۲۰]. افرون برآن، مقدار آسکوربیک اسید چای ترش در مقایسه با خانواده مرکبات بیشتر است. در آزمایش‌های انجام شده حضور آهن، فسفر، کلسیم، منگنز، آلمینیم، سدیم، پتاسیم، موسیلاژ، گوسپیتین، هیپیستین، پروتئین و مواد معدنی و غیره مشاهده شده است. با توجه به بررسی‌های صورت گرفته، این گیاه، حاوی ترکیب‌های پلی‌فلنی است و ویژگی‌های پاداکسیدانی بالایی دارد [۲۱ و ۲۲]. ترکیب‌های پلی‌فلنی، ترکیب‌های کاهنده هستند که افزون بر ویژگی کاهنده‌گی، توانایی پایدار کردن نانوذره‌ها فلزی را دارند [۲۳]. تاکنون مطالعه‌های اندکی درباره تهییه نانوذره‌های فلزی با گیاه چای ترش گزارش شده است [۲۴].

مطالعه حاضر نخستین گزارش سنتز گیاهی نانوذره‌ای مس اکسید با گیاه چای ترش رشد یافته در استان سیستان و بلوچستان است. افرون برآن، عامل‌های موثر بر سنتز شامل pH محلول واکنش، حجم و غلظت عصاره، غلظت نمک مس (II) و زمان واکنش بررسی شده است.

### بخش تجربی

#### مواد و تجهیزات

نمک مس ( $\text{CuCl}_2 \cdot 2\text{H}_2\text{O}$ )، سدیم هیدروکسید ( $\text{NaOH}$ ) و هیدروکلریک اسید ( $\text{HCl}$ ) از شرکت مرک با خلوص بالا تهییه شدند. میکروسکوپ الکترونی عبوری

صورت کاهش اندازه ذرات یک ماده تا مقیاس نانو، نسبت سطح به حجم ذره افزایش یافته و منجر به تغییرهای گستردگی در ویژگی‌های ماده می‌شوند [۴]. برای مثال، این پدیده می‌تواند موجب تغییر ویژگی‌های الکترونی، نوری، دمایی و واکنش‌پذیری شیمیایی ترکیب‌ها شود [۵ و ۶]. به طور کلی روش‌های شیمیایی، فیزیکی و زیستی را می‌توان روش‌های متداول برای تولید نانوذره‌ها دانست [۷]. این سه روش خود زیر شاخه دو روش اصلی تولید نانوذره‌ها، یعنی روش بالا به پایین و پایین به بالا هستند [۸]. در سال‌های اخیر، روش‌های زیستی با به کارگیری قارچ‌ها [۹]، باکتری‌ها [۱۰] و عصاره گیاهان [۱۱] به دلیل سادگی، کم‌هزینه‌بودن، داشتن بازده بالا، غیررسمی و سازگاری با محیط‌زیست، توجه ویژه‌ای را نسبت به سایر روش‌ها به خود جلب کرده است [۱۲]. در این بین، گیاهان به دلیل فراوانی و عدم نیاز به شرایط و مواد غذایی خاص برای رشد، گزینه‌ای مناسب برای تهییه سبز نانوذره‌ها به حساب می‌آیند [۱۳]. کامل‌بودن واکنش، کم‌بودن زمان واکنش، تولید نانوذره‌ها با شکل‌های متفاوت و یکنواخت‌بودن اندازه آن‌ها از دیگر مزایای استفاده از گیاهان برای تهییه نانوذره‌ها هستند [۱۴]. در میان انواع نانوذره‌ها و نانومواد، نانوذره‌های مس (II) اکسید از مهم‌ترین اکسیدهای فلزی واسطه هستند که ویژگی‌های بی‌همتایی دارند و در فناوری متفاوتی مرتبط به ابررساناهای، حسگرهای گازی و ... به کارگرفته می‌شوند [۱۵]. با وجودی که مس یکی از مواد رایج در برنامه‌های متفاوت است، تهییه آن در اندازه‌های نانو به دلیل گرایش شدید به اکسایش و کاهش چالش برانگیز است. برخلاف طلا و نقره، مس بسیار حساس به اکسیژن است و دفاز اکسیدی آن از نظر ترمودینامیکی پایدارتر است. بنابراین، تشکیل یک لایه اکسید سطحی بر نانوذره‌های مس اجتناب ناپذیر است [۱۶]. پژوهش‌های بسیاری برای تهییه نانوذره‌های مس اکسید با استفاده از عصاره گیاهان را گزارش شده است. در مطالعه‌های مربوط

غلظت ۱۰ میلی مولار با pHهای ۴، ۲، ۶ و ۸ و ۱۰ ساخته شد و طیف‌های فرابینفس-مرئی آن‌ها بررسی و pH بهینه انتخاب شد. برای تنظیم pH محلول از محلول‌های سدیم هیدرکسید و یا هیدروکلریک اسید با غلظت ۰/۱ مولار استفاده شد.

#### بهینه سازی غلظت عصاره

برای بهینه سازی مقدار غلظت عصاره‌ی گیاه، ۲ میلی لیتر از عصاره با غلظت‌های متفاوت ۱ تا ۶٪ وزنی-حجمی به ۴ میلی لیتر محلول نمک مس (II) با غلظت ۱۰ میلی مولار افزوده شد و pH واکنش برابر با pH بهینه، تنظیم شد. از هر یک از محلول‌ها، جداگانه طیف فرابینفس-مرئی گرفته و در پایان غلظت عصاره بهینه انتخاب شد.

#### بهینه سازی حجم عصاره

برای بهینه سازی حجم عصاره، مقادیر ۱ تا ۱۰ میلی لیتر از عصاره گیاه با غلظت بهینه شده به ۴ میلی لیتر نمک مس (II) با غلظت ۱۰ میلی مولار افزوده و pH واکنش برابر با pH بهینه، تنظیم شد. طیف فرابینفس-مرئی هر یک از محلول‌ها بررسی و در پایان حجم عصاره بهینه انتخاب شد.

#### بهینه سازی غلظت نمک مس (II)

مقدار بهینه شده عصاره را به ۴ میلی لیتر از غلظت‌های متفاوت محلول نمک مس (II) (۵، ۱۰، ۱۵ و ۲۰ میلی مولار) افزوده شد و pH واکنش به pH بهینه رسانده شد. با طیف‌های فرابینفس-مرئی محلول‌ها، غلظت بهینه نمک مس (II) بدست آمد.

بهینه سازی زمان و بررسی پایداری نانوذره‌های مس اکسید برای بهینه سازی بهترین زمان لازم برای انجام واکنش و بررسی پایداری نانوذره‌های مس اکسید تولید شده، محلول شامل مخلوط عصاره و نمک مس (II) با شرایط بهینه و در زمان‌های متفاوت (از لحظه صفر تا ۶ روز پس از سنتر) تهیه و از هر کدام به صورت جداگانه طیف فرابینفس-مرئی گرفته و اثر pH

Zeiss-EM10C مدل برای بررسی شکل و اندازه ذره‌ها و دستگاه طیف‌نورسنج فرابینفس مرئی مدل HACH DR-5000 برای بررسی روند تهیه و بهینه سازی عامل‌های موثر به کار گرفته شدند. برای بررسی گروه‌های احتمالی دخیل در سنتر از طیف‌سنج فروسرخ تبدیل فوریه (FTIR) مدل PerkinElmer استفاده شد.

#### آماده سازی عصاره

برگ گیاه چای ترش از باغ گیاه‌شناسی دانشگاه سیستان و بلوچستان در خرداد ماه سال ۱۳۹۶ جمع آوری، شسته و پودر شد. ۵ گرم از گیاه پودرشده به درون یک ارلن‌مایر که حاوی ۱۰۰ میلی لیتر آب دوبار تقطیر بود، منتقل و ۳۰ دقیقه در ۴۰°C گرمادهی و با همزن برقی همراه شد. مخلوط به دست آمده پس از خنک شدن در دمای اتاق، با کاغذ صافی واتمن ۴۲ صاف شد. حذف کامل ذره‌های معلق در آن، با دستگاه گریزانه با سرعت rpm ۱۰۰۰۰ در مدت ۳۰ دقیقه انجام شد [۲۵]. عصاره به دست آمده برای مصارف بعدی در یخچال و در دمای صفر تا ۴°C نگهداری شد.

#### تهیه نانوذره‌های مس اکسید

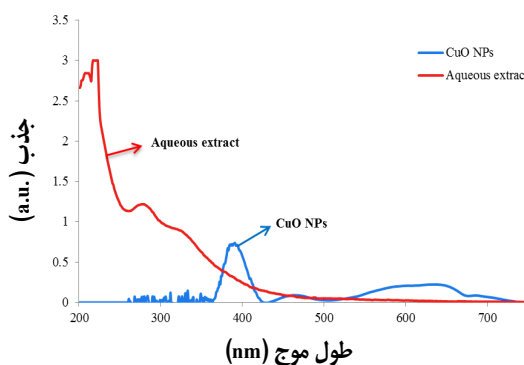
ابتدا محلول استوک اولیه CuCl<sub>2</sub>.2H<sub>2</sub>O با غلظت mM تهیه شد. سپس مقدار ۲ میلی لیتر از عصاره به ۴ میلی لیتر از محلول استوک مس (II) در دمای اتاق افزوده شد. مقدار pH این محلول ۲/۶۰ بود. پس از تغییر رنگ محلول به سبز، از محلول حاوی نانوذره‌های تهیه شده طیف فرابینفس-مرئی گرفته شد. سپس عامل‌های موثر بر تهیه نانوذره‌های مس اکسید شامل اثر pH محلول، غلظت و حجم عصاره، غلظت نمک مس (II) و زمان واکنش برای به دست آوردن نانوذره‌ها با ریخت یکنواخت‌تر و اندازه کوچکتر، با طیف‌نورسنجی فرابینفس-مرئی بررسی و بهینه شدند [۲۶].

#### بررسی اثر pH

برای بهینه سازی مقدار pH، پنج سری محلول شامل ۲ میلی لیتر عصاره و ۴ میلی لیتر محلول نمک مس (II) با

زیستی نیز لازم است. استفاده از بستر گیاهی برای تهیه نانوذره‌ها یک روش نو و بربایه اصول شیمی سبز و روشی ساده نسبت به روش‌های پیچیده‌تری چون الکتروشیمیایی، فتوشیمیایی و یا میدان فراصوت است. در تهیه زیستی نانوذره‌ها فلزی بر پایه احیای زیستی، عصاره گیاه به عنوان احیاء‌کننده و پایدارکننده استفاده می‌شود. پژوهش‌های زیادی فعالیت پاداکسیدانی بالای برگ گیاه چای ترش را گزارش کرده‌اند [۲۱]. بنابراین، مطالعه پتانسیل عصاره برگ گیاه چای ترش می‌تواند راهکاری برای استفاده موثر از آن و روشی ارزان و زیست‌سازگار برای تولید نانوذره‌ها باشد.

این پژوهش نخستین گزارش ستنتر نانوذره‌های مس اکسید با عصاره برگ چای ترش است. تولید نانوذره‌ها با این روش به صورت یک مرحله‌ای و ارزان است و در زمان بسیار کم، فرایند تکمیل می‌شود. شکل ۱ طیف فرابنفش-مرئی نانوذره‌های مس اکسید تهیه‌شده بدون اعمال شرایط بهینه را نشان می‌دهد.



شکل ۱ طیف‌های فرابنفش-مرئی عصاره آبی برگ گیاه چای ترش و نانوذره‌های مس اکسید زیستی تهیه‌شده با آن

با توجه به این شکل، در طول موج ۳۸۲ نانومتر که مربوط به رزونانس پلاسمون سطحی نانوذره‌های مس اکسید است [۲۷]، طیف عصاره فاقد پیک است و وجود پیک در طول موج موردنظر، بهدلیل وجود نانوذره‌های مس اکسید در

زمان بررسی شد. بهینه‌سازی‌های انجام‌شده در دمای اتاق صورت گرفت.

**مشخصه‌یابی نانوذره‌های مس اکسید**  
توزیع شکل و اندازه نانوذره‌های مس اکسید تهیه‌شده با اعمال عامل‌های موثر، با دستگاه میکروسکوپ الکترونی بررسی شد. برای آماده‌سازی نمونه، چندین قطره از محلول حاوی نانوذره‌های مس اکسید بر شبکه‌های دستگاه (از جنس مس پوشش داده شده با کربن) قرار داده و پس از تبخیر حلal آن در دمای آزمایشگاه، تصویر میکروسکوپ الکترونی عبوری آن گرفته شد.

برای شناسایی کیفی کاهنده‌ها و پایدارکننده‌های اطراف نانوذره‌های مس اکسید، از طیفسنجی فروسرخ تبدیل فوریه استفاده شد. بدین منظور ابتدا نمونه حاوی نانوذره‌های مس اکسید تهیه‌شده با اعمال همه عامل‌های موثر پس از خشک و پودرشدن، با پتاسیم برمید مخلوط و به شکل قرص پتاسیم برمید در آمد. سپس طیف آن به همراه عصاره آبی مورداستفاده در گستره  $400\text{--}4000\text{ cm}^{-1}$  ثبت شد.

## نتیجه‌ها و بحث

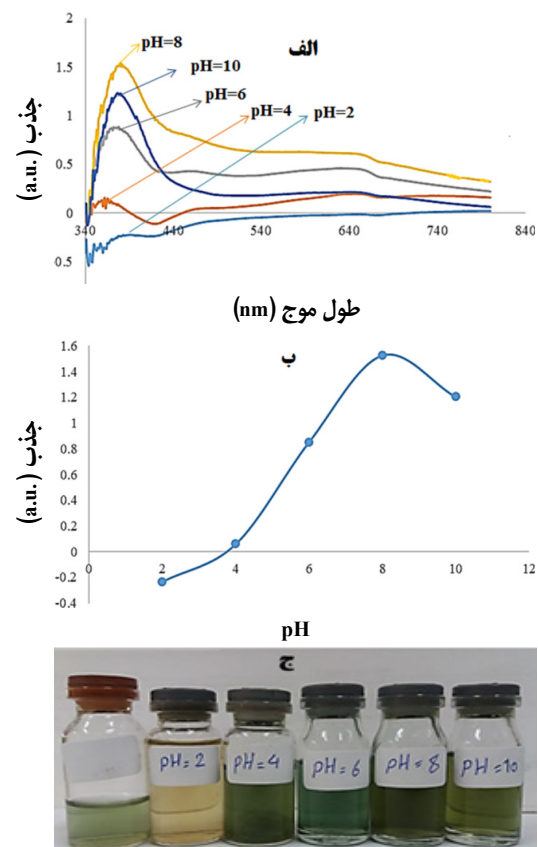
تهیه اولیه نانوذره‌های مس اکسید نانوزیستفناوری، که تلفیقی از علوم فناوری زیستی و نانوفناوری است با هدف تولید مواد در مقیاس نانومتر از راه روش‌های زیستی سازگار با محیط‌زیست در حال توسعه و پیشرفت است. یکی از جنبه‌های مهم در نانوفناوری تهیه نانو مواد با ویژگی‌های بی‌همتا و ابعاد قابل کنترل است. در زیست‌ستنتر نانوذره‌ها، اندامگان‌های زیستی مانند باکتری‌ها، قارچ‌ها، اکتوومیست‌ها، مخمرها، جلبک‌ها و گیاهان به عنوان عامل کاهنده یا عوامل محافظتی به کارگرفته می‌شوند. امروزه تهیه نانوذره‌های زیستی با توجه به کارایی آن‌ها در پزشکی و علوم زیستی رو به افزایش است. از سوی دیگر، به کارگیری روش‌های سازگار با محیط‌زیست برای تهیه غیرسمی نانومواد

که این رنگ دلیلی بر تهیه موفق این نانوذره‌ها است. مقدار pH محلول به دست آمده با دستگاه pH متر، ۲۶۰-pH قرائت شد. برای بررسی اثر pH بر روند تهیه نانوذره‌ها، pH-های بالاتر و کمتر از مقدار اولیه مطالعه و از همه نمونه‌ها طیف فرابنفش-مرئی گرفته شد (شکل ۲-الف). نتیجه‌ها نشان می‌دهد که با افزایش تدریجی pH محلول تا ۸، جذب محلول به صورت چشمگیری افزایش یافته است که دلیلی بر افزایش مقدار نانوذره‌ها مس اکسید سنتز شده است. در pH بالاتر (pH = ۱۰) افت محسوسی در مقدار جذب مشاهده می‌شود. در نتیجه، pH برابر با ۸ به عنوان pH بهینه و مناسب انتخاب شد. شکل‌های ۲-ب و ۲-ج روند مقدار جذب در pH-های متفاوت و تغییر رنگ نانوذره‌های مس اکسید به دست آمده را نشان می‌دهد. در بررسی‌های عامل‌های موثر بر تهیه نانوذره‌های نقره، pH یکی از مهم‌ترین عامل‌های موثر بر تهیه نانوذره‌ها است [۲۸]. پیش‌ازاین، گزارش‌هایی مبنی بر تأثیر pH بر چگونگی تشکیل نانوذره‌ها به ثبت رسیده است. گزارش‌ها حاکی از آن است که pH بر شکل نانوذره‌ها تأثیر چشمگیری نداشته و تنها اندازه آن‌ها را به میزان زیادی تحت تأثیر قرار می‌دهد [۲۹]. مطالعه‌ها نشان می‌دهند که در pH-های خیلی بالاتر، یون‌های مس (II) آب‌کافت و درنتیجه گونه‌های پایدار هیدروکسیدهای یون مس تشکیل و از ورود این یون‌ها به واکنش کاهش زیستی ممانعت می‌شود [۳۰]. همچنین، در مواردی در pH-های بالاتر ذره‌های بزرگ‌تر می‌توانند تولید شوند [۳۱].

#### اثر غلظت و حجم عصاره

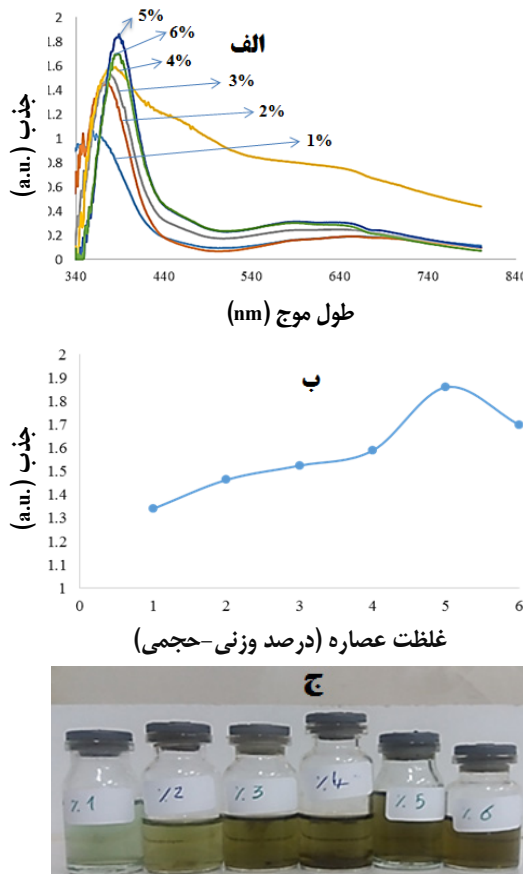
تأثیر غلظت عصاره بر سنتز نانوذره‌های مس اکسید در شکل ۳ به خوبی نشان داده شده است. همان‌گونه که مشاهده می‌شود با افزایش غلظت عصاره، جذب مربوط به نانوذره‌ها افزایش قابل توجهی داشته که نشان‌دهنده افزایش در مقدار نانوذره‌های تهیه شده است. این افزایش تا غلظت ۵٪ وزنی-

محلول است و عصاره هیچ گونه تداخل و مزاحمتی در تشکیل نانوذره‌های مس اکسید ایجاد نکرده است. بهینه‌سازی عامل‌های موثر بر تهیه نانوذره‌های مس اکسید تأثیر pH واکنش در بررسی تأثیر pH پس از افزوده کردن ۲ میلی‌لیتر از عصاره به ۴ میلی‌لیتر از نمک مس (I) با غلظت ۱۰ میلی‌مولار، مشاهده شد که رنگ محلول به رنگ سبز متمایل شده است (شکل ۲-ج).



شکل ۲ تأثیر pH واکنش تهیه نانوذره‌های مس اکسید بر طیف‌های فرابنفش-مرئی (الف)، جذب (ب) و رنگ (ج) محلول‌های حاوی نانوذره‌های مس اکسید

افزایش در توزیع ذره‌ها، بهنای طیف‌ها افزایش می‌یابد [۳۳] و [۳۴]



شکل ۳ تأثیر غلظت عصاره در تهیه نانوذره‌ها اکسید مس بر طیف‌های فرابنفش-مرئی (الف)، جذب (ب) و رنگ (ج)  
 محلول‌های حاوی این نانوذره‌ها

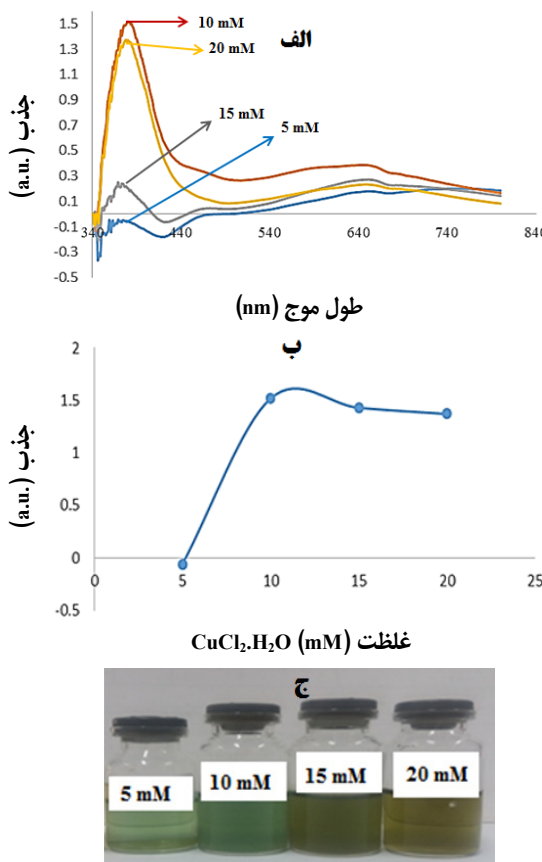
#### اثر غلظت نمک مس (II)

تأثیر غلظت یون فلزی بر روند تهیه نانوذره‌ها در شکل ۵ به خوبی نشان داده شده است. با توجه به این شکل، مشاهده می‌شود که با افزایش تدریجی غلظت یون مس (II) از ۵ به ۱۰ میلی‌مولار، جذب مربوط به محلول حاوی نانوذره‌های مس اکسید افزایش چشمگیری داشته است، ولی در غلظت‌های ۱۵ و

حجمی از عصاره ادامه دارد ولی در غلظت ۶٪ وزنی-حجمی از آن، افت زیادی در مقدار جذب مشاهده می‌شود. درنتیجه، غلظت ۵٪ وزنی-حجمی از عصاره به عنوان غلظت بهینه و مناسب عصاره، برای تهیه این نانوذره‌ها انتخاب شد.

در بررسی تأثیر مقدار حجم عصاره مصرفی بر روند سنتز نانوذره‌های مس اکسید، مشاهده شد که با افزایش حجم عصاره، جذب مربوط به نانوذره‌ها، افزایش قابل توجهی داشته است که نشان‌دهنده افزایش مقدار نانوذره‌های سنتزشده است (شکل ۴). این افزایش تا حجم ۹ میلی‌لیتر از عصاره ادامه دارد ولی در حجم ۱۰ میلی‌لیتر از آن، افت زیادی در مقدار جذب مشاهده می‌شود. در نتیجه مقدار ۹ میلی‌لیتر از عصاره به عنوان حجم بهینه و مناسب برای تهیه این نانوذره‌ها انتخاب شد.

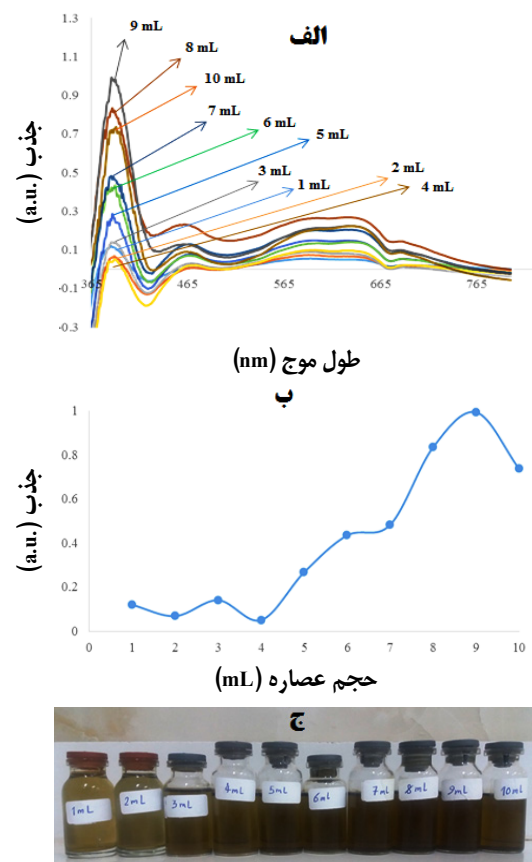
همان‌طوری که در پیش اشاره شد، در تهیه زیستی نانوذره‌ها توسط گیاهان، گیاه نقش کاهنگی یون‌های فلزی و همچنین، تثیت کردن این نانوذره‌ها (پایدار سازی) را ایفا می‌کند [۳۲]. گیاه چای ترش نیز دارای ترکیب‌های طبیعی فراوانی چون ترکیب‌های پاداکسیدانی، فنل‌ها، فلاونوئیدها و ... است [۲۱]، که این ترکیب‌ها در احیای یون‌های فلزی و تبدیل آن‌ها به اتم‌های فلزی در مقیاس نانو و پایدار کردن نانوذره‌ها تهیه شده نقش مهمی دارند. مطالعه‌ها نشان می‌دهند که، در غلظت‌های و حجم‌های کمتر از میزان بهینه عامل احیاء کننده و پایدار کننده، عمل احیاء کننگی و پایدار سازی نانوذره‌ها به صورت کامل اتفاق نیافتد و نانوذره‌ها به میزان کمتر و با اندازه درشت‌تری به دست می‌آید. همچنین، با افزودن مقدار بیشتر از بهینه، ذرات پایدار کننده بیشتر تجمع می‌کنند و با اندازه درشت‌تری به دست می‌آیند که موجب می‌شوند پایدارسازی به طور کامل انجام نشود با بی ثبات شدن نانوذره‌ها، از جمعیت نانوذره‌ها پایدار در محیط کم شده و جذب کاهش خواهد یافت. پژوهش‌ها حاکی از آن است که با افزایش در اندازه نانوذره‌ها، میزان جذب کاهش یافته و با



شکل ۵ تاثیر غلظت‌های متفاوت نمک مس در تهیه نانوذره‌های مس اکسید بر طیف‌های فرابنفش-مرئی (الف)، جذب (ب) و رنگ (ج) محلول‌های حاوی این نانوذره‌ها

پژوهش‌های بسیاری تأثیر غلظت یون فلزی بر تهیه نانوذره‌ها را اثبات کردند. مطالعه‌ها نشان می‌دهد با افزایش غلظت یون فلز، جذب مشاهده شده نیز افزایش می‌یابد. در واقع با افزایش مقدار یون فلز، یون‌های بیشتری کاوش می‌یابد و درنتیجه نانوذره‌های بیشتری تولید خواهد شد [۳۵]. افزایش بیش از اندازه غلظت یون مس (II)، افزایش نامحسوس در مقدار جذب مربوط به نانوذره‌ها را به دنبال دارد که می‌تواند به دلیل چسبندگی نانوذره‌ها و تهیه نانوذره‌هایی با اندازه بزرگتر باشد [۳۶]. با توجه به دلایل ذکر

۲۰ میلی‌مolar، افزایش قابل توجهی در مقدار جذب مربوط به نانوذره‌ها دیده نمی‌شود و حتی به طور تقریبی افت اندکی در میزان جذب مشاهده می‌شود. درنتیجه، مقدار غلظت ۱۰ میلی‌مolar از نمک مس (II) به عنوان غلظت بهینه و مناسب انتخاب شد.



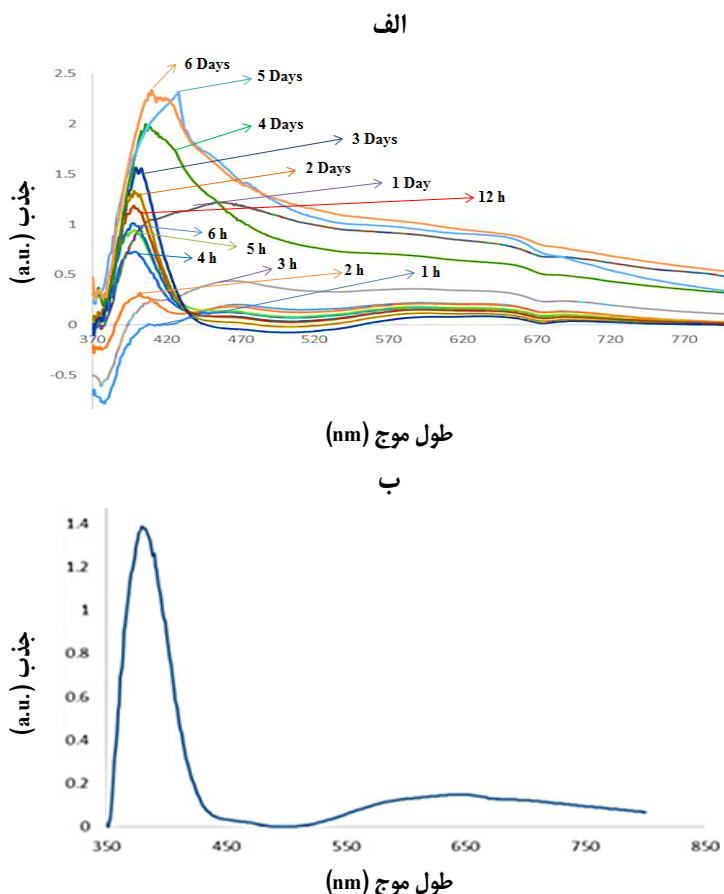
شکل ۶ تاثیر حجم عصاره در تهیه نانوذره‌های مس اکسید بر طیف‌های فرابنفش-مرئی (الف)، جذب (ب) و رنگ (ج) محلول‌های حاوی این نانوذره‌ها

تأثیر زمان مجاوربودن ۴ میلی‌لیتر از نمک مس با غلظت ۱۰ میلی‌مولار با ۹ میلی‌لیتر از عصاره گیاه با غلظت بهینه ۵٪ وزنی-حجمی در pH برابر با ۸ و در دمای ۲۵°C بر روند واکنش، با طیف‌نورسنج فرابینفس-مرئی نشان داد که متناسب با افزایش زمان، برهم‌کنش میان واکنشگرهای افزایش می‌یابد (شکل ۶-الف).

شدۀ غلّطت ۱۰ میلی‌مولاری از یون مس (II) به عنوان غلّطت مناسب انتخاب شد.

اثر زمان واکنش در تهییه نانوذره‌ها

با ثابت نگه‌داشتن شرایط ستنتزیستی نانوذره‌های مس اکسید در نقاط بهینه‌شده عامل‌های pH، حجم و غلّطت عصاره و غلّطت نمک مس، اثر زمان نیز بررسی شد. بررسی



شکل ۶ تأثیر زمان واکنش تهییه نانوذره‌های مس اکسید بر طیف‌های فرابینفس-مرئی (الف) و جذب (ب) محلول‌های حاوی این نانوذره‌ها با اعمال دیگر شرایط بهینه‌شده

گذشت زمان تولید نانوذره‌ها بیشتر خواهد بود. همچنین، عامل زمان، مهم‌ترین عامل برای اثبات پایداری نانوذره‌های تهییه شده است، به‌گونه‌ای که اگر با گذشت زمان، تغییر

زمان نیز همانند عامل‌های مورد بحث، تأثیر بسزایی در تهییه و پایداربودن نانوذره‌ها دارد [۳۷]. به‌طوری‌که در واکنش‌های این چنینی، اگر سنتز کامل انجام نشده باشد، با

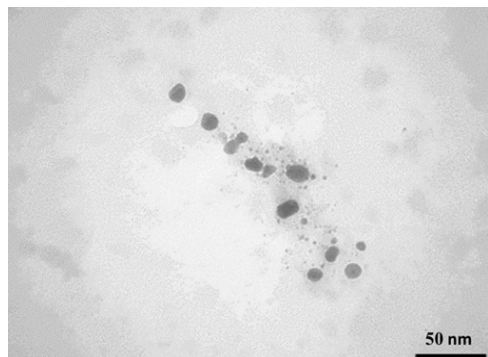
این تصویر نشان می‌دهد که نانوذره‌های به دست آمده همگی به طور تقریبی کروی و میانگین اندازه آن‌ها ۱۰ تا ۲۰ نانومتر است.

#### بررسی طیف‌های FTIR

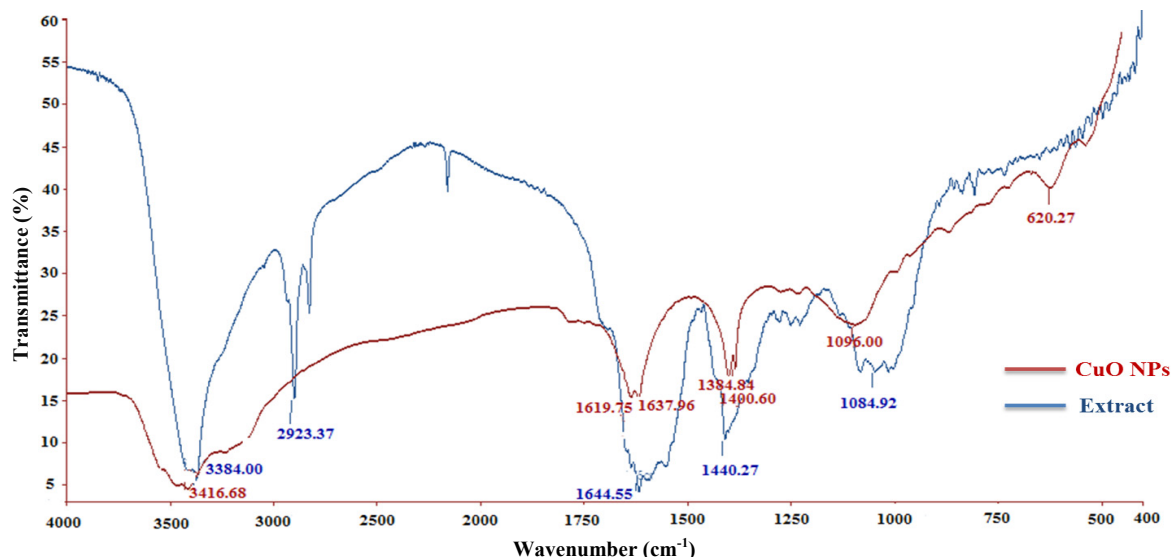
طیفسنجی فروسرخ تبدیل فوریه برای شناسایی ترکیب‌های کاهنده و پایدارکننده در اطراف نانوذره‌ها به کار گرفته شد (شکل ۸). نوارهایی واضح را در ناحیه‌های ۳۳۸۴، ۲۹۲۳، ۱۶۴۴، ۱۴۴۰ و  $1084\text{ cm}^{-1}$  برای عصاره و ۳۴۱۶، ۱۶۳۷، ۱۶۳۶ و  $1096\text{ cm}^{-1}$  برای نانوذره‌های تهیه شده، نشان داده شده است. نوارهای ۳۳۸۴ و  $3416\text{ cm}^{-1}$  به گروه آمینی ( $\text{NH}_2$ ) و هیدروکسیل ( $\text{-OH}$ ) نسبت داده می‌شود که مربوط به ترکیب‌های فنلی و اسیدهای آمینه هستند. نوار  $2923\text{ cm}^{-1}$  مربوط به ارتعاشات کششی C-H گروه‌های متیل (-CH<sub>3</sub>) و متیلن (-CH<sub>2</sub>) ترکیب‌های آلیفاتیکی و کلروفیل موجود در عصاره است. پیک‌های ۱۶۱۹،  $1637\text{ cm}^{-1}$  و  $1644\text{ cm}^{-1}$  مربوط به ارتعاش‌های کششی گروه کربونیل (C=O) و به ترکیب‌های آمیدی نسبت داده می‌شود. پیک‌های موجود در ناحیه‌های  $1084\text{ cm}^{-1}$  و  $1096\text{ cm}^{-1}$  ارتعاش‌های کششی C-O ترکیب‌های پلی‌ساقاریدی است. وجود نواری در ناحیه  $620\text{ cm}^{-1}$  مربوط به پیوند هیدروژنی موجود در سلولز و همی‌سلولز موجود در عصاره است که این ترکیب‌های ذکر شده در تهیه و پایدارسازی نانوذره‌ها نقش دارند [۲۵]. به طور کلی این ترکیب‌ها افزون بر کاهش یون‌های مس، اطراف نانوذره‌های مربوط را فراگرفته و عامل پایداری این ذره‌ها شده و از تجمع و کلوخشدن آن‌ها جلوگیری می‌کند.

قابل توجهی در مقدار جذب نانوذره‌های مس اکسید مشاهده نشود، می‌توان این‌گونه استنباط کرد که نانوذره‌های به دست آمده با گذر زمان به طور کامل پایدار هستند. نانوذره‌های به دست آمده تا ۶ روز پس از تهیه به تقریب پایدار بودند. شکل ع-ب طیف فرابنفش-مرئی محلول حاوی نانوذره‌های مس اکسید با اعمال همه شرایط بهینه شده را نشان می‌دهد. همان‌گونه که مشاهده می‌شود، طیف تیز و متقاضن است و این می‌تواند دلیل تولید نانوذره‌های پایدار با اندازه کوچک و ریخت یکنواخت باشد.

بررسی تصویر میکروسکوپ الکترونی عبوری (TEM) توزیع شکل و اندازه نانوذره‌های مس اکسید تهیه شده با میکروسکوپ الکترونی عبوری مطالعه شد. شکل ۷ تصویر میکروسکوپ الکترونی عبوری نانوذره‌های مس اکسید تهیه شده در شرایط بهینه را نشان می‌دهد.



شکل ۷ تصویر میکروسکوپ الکترونی عبوری نانوذره‌های مس اکسید



شکل ۸ طیف فروسرخ تبدیل فوریه نانوذرهای مس اکسید و عصاره برگ گیاه چای ترش

می‌رساند. مطالعه حاضر نخستین گزارش از سنتز گیاهی آسان، ارزان و تک مرحله‌ای نانوذرهای مس اکسید دوستدار محیط‌زیست با عصاره آبی برگ گیاه چای ترش را نشان داده است. برگ گیاه به عنوان یک عامل کاهنده و پایدار کننده در تهیه نانوذرهای مس اکسید به کار گرفته شده است. یکی از محدودیت‌ها در اکثر روش‌های تهیه نانوذرهای پراکنش زیاد نانوذرهای است. این محدودیت بزرگ را می‌توان با روش‌های متفاوت مانند، تغییر pH، حجم و غلظت عصاره گیاهی، غلظت محلول نمکی و زمان، رفع کرد و دامنه تغییر اندازه نانوذرهای را کاهش داد و به یک شرایط بهینه و مناسب دست پیدا کرد. در این مطالعه نیز تأثیر عامل‌های موثر ذکر شده بررسی و بهینه شدند. شکل و اندازه نمونه به دست آمده با شرایط اعمال شده مورد مطالعه قرار گرفت. به طور کلی، با توجه به نتیجه‌ها این پژوهش و سایر گزارش‌ها مبنی بر تولید نانوذرهای با مواد زیستی مانند ریزاندامگان، بیوماس گیاهی و حتی عصاره‌های گیاهی، می‌توان روش‌های زیستی و سبز را به عنوان روش‌های مکمل برای روش‌های فیزیکی و شیمیایی تولید این نانوذرهای قلمداد کرد. افزون بر این، با در نظر گرفتن

برپایه سایر پژوهش‌های انجام شده در زمینه تهیه گیاهی نانوذرهای، گیاه می‌تواند نقش عامل کاهنده و پایدار کننده را ایفا کند. مطالعه‌ها نشان می‌دهد که مولکول‌هایی مانند قنل‌ها، فلاونوئیدها و پروتئین‌ها در گیاهان این نقش را بازی می‌کنند [۳۸]. پیش از این نیز تأثیر وجود این مولکول زیستی بر تهیه نانوذرهای گزارش شده است [۳۹]. نقش سایر مولکول‌های زیستی مانند گلوكز و مالتوز در تثیت نانوذرهای نیز گزارش شده است [۴۰]. فلاونوئیدها نیز همین نقش را دارند و برخی از پژوهش‌ها وجود این گروه از ترکیب‌های ثانویه را دلیل سنتز نانوذرهای فلزی دانسته‌اند [۴۰]. همان‌طوری که بیان شد، گیاه چای ترش نیز دارای ترکیب‌های طبیعی فراوانی چون پاداکسیدان‌ها، فنل‌ها، فلاونوئیدها و غیره است که طیف فروسرخ تبدیل فوریه عصاره آبی این گیاه در این پژوهش این ادعا را ثابت می‌کند.

### نتیجه‌گیری

استفاده از ظرفیت بالای گیاهان، ما را به دست یافتن به نانوذرهایی با پایداری خیلی بیشتر از روش‌های شیمیایی

### سپاسگزاری

بدین وسیله نویسندهای لازم می‌دانند که مراتب سپاس خود را از حمایت‌های مادی و معنوی دانشگاه سیستان و بلوچستان برای ارایه این مقاله اعلام کنند.

جنبهای اینمی و زیست محیطی تولید نانوذره‌ها، این روش‌ها به عنوان روش‌های دوستدار محیط‌زیست نیز موردنوجه هستند.

### مراجع

- [1] Dubeya, S.H.P.; Lahtinen, M.; Sillanpaa, M.; Process Biochem. 45(7), 1065–71, 2010.
- [2] Dwivedi, A.G.; Gopol, K; Colloids Surf. A Physicochem. Eng. Asp. 369(1-3), 27-33, 2010.
- [3] Mock, J.J.; Barbic, M.; Smith, D.R.; Schultz, D.A.; Schultz, S; J. Chem. Phys. 116(15), 6755-59, 2002.
- [4] Gardea-Torresdey, J.L.; Gomez, E.; Peralta-Videa, J.R.; Parsons, J.G.; Troiani, H.; Troiani, M.; Langmuir. 19(4), 1357-1361, 2003.
- [5] Mahendra, R.; Alka, Y.; Aniket, G.; Biotechnol. Adv. 27(1), 76-83, 2009.
- [6] Govindaraju, K.; Tamilselvan, S.; Kiruthiga, V.; Singaravelu, G.; J. Biopestic. 3(1), 394–399, 2010.
- [7] Nanda, A.; Saravanam, M.; Hil, M.P.; Nanomedicine 5, 452-456, 2009.
- [8] Zhanjiang, Z.; Jinpei, L; Rare Metal Materials and Engineering 41(10), 1700-1705, 2012.
- [9] Gajbhiye, M.; Kesharwani, J.; Ingle, A.; Gade, A.; Rai, M.; Nanomed NBM. 5, 382-6, 2009.
- [10] Shahverdi, A.R.; Minaeian, S.; Shahverdi, H.R.; Jamalifar, H.; Nohi, A.A.; Proc Biochem. 42, 919-23, 2007.
- [11] Shankar, S.S.; Rai, A.; Ahmad, A.; Sastry, M.; J Colloid Interface Sci. 275, 496-502, 2002.
- [12] Jianrong, C.; Yuqing, M.; Nongyue, H.; Xiaohua, W.; Sijiao, L.; Biotech. Advances 22, 505-518, 2004.
- [13] Ahmad, N.; Sharma, S.; Alam, M.K.; Singh, V.N.; Shamsi, S.F.; Mehta, B.R.; Anjum, F.; Colloids Surf. B. 81, 81-86, 2010.
- [14] Wang, Y.; He, X.; Wang, K.; Zhang, X.; Tan, W.; Colloids and surfaces B, Colloids Surf. 73, 75-79, 2009.
- [15] Toghroli, H.; Saravani, H.; Nanoscale 5(1), 23-32, 2018.
- [16] Salavati-Niasari, M.; Davar, F.; Mater. Lett. 63, 441–443, 2009.
- [17] Asemani, M.; Anarjan, N.; Green Process Synth. 8, 557-567, 2019.
- [18] Vijay Kumar, P.P.N.; Shameem, U.; Kollu, P.; Kalyani, R.L.; Pammi, S.V.N.; BioNanoSci. 5, 135-139, 2015.
- [19] Shi, L-B.; Tang, P.F.; Zhang, W.; Zhao, Y.P.; Zhang, L.C.H.; Zhang, H.; Trop J Pharm Res. 16(1), 185-192, 2017.
- [20] Mehrzadeh, M.; Valizadeh, J.; Ghasemi, A.; J. Med. Plants. 16(64), 107-122, 2017.
- [21] Olusola, O.A.; Olusola, A.O.; Bada, S.O.; Obi, F.O.; Am. J. Biochem. 2(2), 1-6, 2012.
- [22] Yurdiansyah, A.; Suhartanti, D.; IC-GWBT (Conferences), 23-24, 2012.
- [23] Nune, S.K.; Chanda, N.; Shukla, R.; Katti, K.; Kulkarni, R.R.; Thilakavathi, S.; Mekapothula, S.; Kannan, R.; Katti, K.V.; J. Mater. Chem, 19, 2912 – 2920, 2009.
- [24] Thovhogi, N.; Diallo, A.; Gurib-Fakim, A.; Maaza, M.; Journal of Alloys and Compounds 647, 392-396, 2015.
- [25] Azizian Sherme, O.; Einali, A.; Ghasemi, A.; Adv Powder Technol. 28, 3164-3171, 2017.
- [26] Azizian Sherme, O.; Valizadeh, M.; Taherizadeh, M.; Beigomi, M.; Appl Nanosci. 10, 2907-2920, 2020.
- [27] Thamer, N.A.; Muftin, N.Q.; Al-Rubae, S.H.N.; Asian J. Chem. 30(7), 1559-1563, 2018.

- [28] Waghmar, S.S.; Deshmukh, A.M.; Sadowski, Z.; Afr. J. Microbiol. Res. 8 (2), 138-146, 2014
- [29] Armendariz, V.; Herrera, I.; Peralta-Videa , J.R.; Jose-Yacaman, M.; Troiani, H.; Santiago, P.P.; J Nanopart Re. 6(4), 377-85, 2014.
- [30] Supraja, S.; Mohammed Ali, S.; Chakravarthy, N.; Jayaprakash Priya, A.; Sagadevan, E.; Kasinathan, M.K.; Sindhu, S.; Arumugam, P.; Int J Chem Tech Research. 5 (1), 271-77, 2013.
- [31] Shanya, D.S.; Mathewa, J.; Philip, D.; Spectrochim Acta A. 79(1), 254–62, 2011.
- [32] Philip, D.; Physica E. 42(5), 1417–24, 2010.
- [33] Azizian-Shermeh, O.; Taherizadeh, M.; Valizadeh, M.; Valizadeh, J.; Qasemi, A.; Naroei, B.; Qom Univ Med Sci J. 11(5), 38-52, 2017.
- [34] Azizian-Shermeh, O.; Valizadeh, J.; Noroozifar, M.; Qasemi, A.; Valizadeh, M.; Eco-phytochemical Journal of Medicinal Plants, 1(4), 1-18, 2016.
- [35] Azizian-Shermeh, O.; Valizadeh, J.; Noroozifar, M.; Qasemi, A.; Journal of Ilam University of Medical Sciences, 24(5), 92-108, 2016.
- [36] Azizian-Shermeh, O.; Taherizadeh, M.; Valizadeh, M.; Qasemi, A.; Beigomi, M.; Kamali Deljoo, M.; Journal of Food Technology and Nutrition, 16(1), 31-48, 2019.
- [37] Azizian-Shermeh, O.; Jalali-Nezhad, A.A.; Taherizadeh, M.; Qasemi, A.; J Inorg Organomet Polym, 31, 279–291, 2021.
- [38] Etemadi, M.; Mohebbi-Kalhor, D.; Azizian-Shermeh, O.; Qasemi, A.; J Fasa Univ Med Sci. 9 (3), 1632-1645, 2017.
- [39] Marambio-Jones, C.; Hoek, E.M.V.; J Nanopart Res. 12(5), 1531-51, 2010.
- [40] Chaloupka, K., Malam, Y.; Seifalian, A.M.; Trends Biotechnol. 28, 580-588, 2010.

## Optimization and characterization of plant-mediated green synthesis of copper oxide nanoparticles using leaf aqueous extract of *Hibiscus Sabdariffa L.*

Sahar Sadeqnia<sup>1</sup>, Ebrahim Mollashahi<sup>2,\*</sup>, Alireza Einali<sup>3</sup> and Omid Azizian-Shermeh<sup>4</sup>

1. M.Sc. student in Department of Chemistry, Faculty of Basic Sciences, University of Sistan and Baluchestan, Zahedan, Iran.
2. Assistant Prof. in Department of Biology, Faculty of Basic Sciences, University of Sistan and Baluchestan, Zahedan, Iran.
3. Associate Prof. in Department of Biology, Faculty of Basic Sciences, University of Sistan and Baluchestan, Zahedan, Iran.
4. PhD student in Department of Biology, Faculty of Basic Sciences, University of Sistan and Baluchestan, Zahedan, Iran.

**Abstract:** Physical and chemical methods for synthesis of nanoparticles are not cost-efficient. Present study is the first report to phytosynthesis of Copper Oxide nanoparticles using leaf aqueous extract of *Hibiscus sabdariffa L.* In this research, 2 ml of extract was added to 4 ml of CuCl<sub>2</sub>.2H<sub>2</sub>O with concentration 10 mM. In order to obtain nanoparticles with uniform shape and size, the parameters affecting synthesis, such as: pH of reaction, volume and concentration of extract, concentration of copper salt, and time of reaction were studied and all of them were optimized by UV-Vis spectrophotometry technique. Transmission Electron Microscopy (TEM) and Fourier Transformation Infra-Red (FTIR) spectroscopy were used for investigating the shape and size of nanoparticles and detection of the functional groups involved in the synthesis and stabilization copper oxide nanoparticles, respectively. Results showed that the extract of *Hibiscus sabdariffa L.* can reduce the Cu<sup>2+</sup> ions to Cu<sup>0</sup> atoms with nanometric size and the color of solution changed to green. The TEM image of CuO NPs showed that the average size was between 10-20 nm and all of them had spherical shape. Also, the best condition for the synthesis of copper oxide nanoparticles was at pH= 8, 9 ml of extract with concentration of 5 %, and CuCl<sub>2</sub>.2H<sub>2</sub>O with concentration of 10 mM. These nanoparticles were very stable up to 6 days after synthesis.

**Keywords:** Cupper oxide nanoparticles, Green synthesis, *Hibiscus sabdariffa L.*, Optimization

\* Corresponding author Email: mollashahi39@chem.usb.ac.ir

Journal of Applied Research in Chemistry